

УДК 621.396.962.4+551.507.362.2

**Сканирующий
ИСЗ СВЧ-радиометр
«Січ-1» РМ-08**

**В. А. Комяк¹, А. С. Левда², В. В. Рыбин³,
С. А. Шило¹, С. Е. Яцевич¹**

¹Інститут радіофізики і електроніки НАН України, Харків

²Центр радіофізичного зондування Землі НАН України і НКА України, Харків

³Науково-дослідний інститут радіотехнічних вимірювань, Харків

Надійшла до редакції 11.03.98

Обговорюється призначення радіометричної системи РМ-08 ПІСЗ «Січ-1», особливості її структури, принципи та технічні рішення, які покладені в основу схем сканування та калібровки.

Сканирующий СВЧ-радиометр (СКРМ) 8-мм диапазона волн предназначен для исследования земной поверхности, ледяных покровов и океана в составе комплекса радиофизической аппаратуры (РФА) ИСЗ «Січ-1». Комплекс РФА включает в себя также радиолокатор бокового обзора (РЛС БО) 3-см диапазона волн [4]. Выходные данные радиометра и радиолокатора на борту ИСЗ объединяются с синхронно получаемой информацией радиотелевизионного комплекса РТВК, оснащенного многоспектральным сканером МСУ-М [6], в единый информационный поток, содержащий три синхронно формируемые изображения (радиотепловое, радиолокационное и оптическое) одних и тех же участков земной поверхности, и транслируются по стандартным линиям передачи в частотных диапазонах 137 Мгц и 465 Мгц на приемные пункты.

Синхронные данные радиолокационных и радиометрических наблюдений в сочетании с видеинформацией сканера не только дополняют друг друга, но и позволяют в ряде случаев избежать неоднозначности интерпретации результатов зондирования [8].

© В. А. КОМЯК, А. С. ЛЕВДА, В. В. РЫБИН,
С. А. ШИЛО, С. Е. ЯЦЕВИЧ, 1998

Принадлежность РМ-08 комплексу РФА определила выбор как принципов обзора пространства, так и схемы построения прибора.

Выбор рабочей длины волны $\lambda \approx 8$ мм и горизонтальной поляризации принимаемого излучения определяется оптимизацией комплекса к решению задач наблюдения океана и льдов [8]. Необходимость одновременного с РЛС БО наблюдения одних и тех же участков поверхности Земли в совмещенной полосе обзора определила выбор сектора углов сканирования РМ-08 (начальный угол $\geq 20^\circ$ от надира, сектор углов $\approx 30^\circ$). Исходя из требований единой строчно-кадровой структуры построения информационного потока, было выбрано линейное сканирование диаграммой направленности антенны в плоскости, ортогональной вектору линейной скорости ИСЗ. Такой вариант сканирования, несмотря на недостатки, связанные с изменением угла наблюдения от положения луча антенны, обеспечивает оптимальную, с точки зрения времени на получение информации, чувствительность системы (максимально возможное время интегрирования).

Функционально СКРМ состоит из сканирующей антенны, радиометрического приемника, устройств

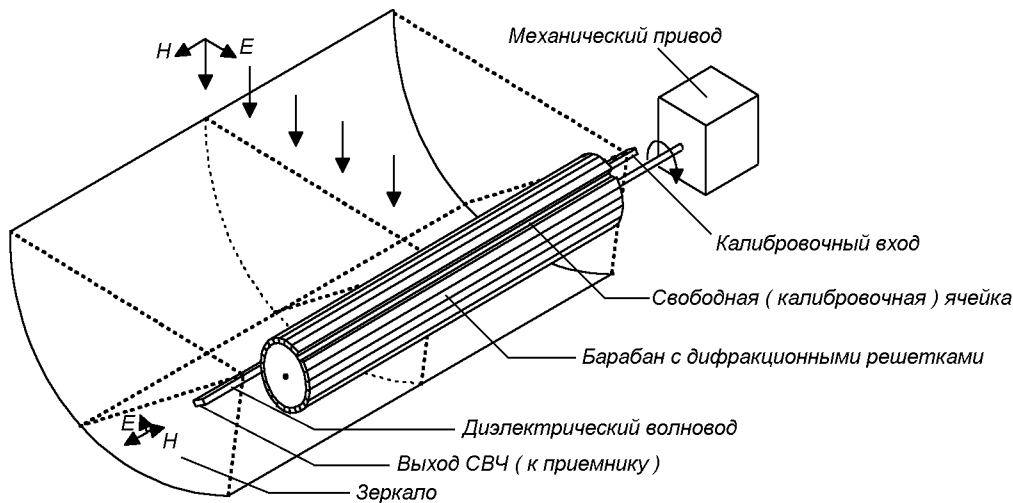


Рис. 1. Схема антенны РМ-08

питания, управления и телеметрического контроля. С выхода радиометрической системы сигнал поступает в блок обработки (БОС), где преобразуется в цифровую форму. В БОС формируется строка радиометрического изображения, производится коррекция геометрических искажений, вызванных сферичностью Земли, после чего осуществляется вывод радиометрической информации в составе строки совмещенного (радиометрического, радиолокационного и оптического) изображения; при этом за счет внутреннего тиражирования строк согласуются частоты сканирования РМ-08 (1 Гц) с частотой строк выходного изображения (4 Гц) [7]. На выходе БОС сигнал преобразуется в аналоговую форму и поступает на модулятор передатчика линии радиосвязи.

СКАНИРУЮЩАЯ АНТЕННАЯ СИСТЕМА

Скансирующая антенна системы РМ-08 разработана в ИРЭ НАНУ на основе принципов преобразования поверхностных волн в объемные [1, 3]. Антенна включает неподвижный рефлектор в виде вырезки из параболического цилиндра и сканирующий линейный облучатель, вынесенный за пределы апертуры, выполненный на основе диэлектрического волновода, связанного посредством электромагнитного поля с одной из дифракционных решеток из их набора, размещенного на вращающемся цилиндре вдоль его образующих [3]. Положение диаграммы направленности (ДН) антенны определяется параметрами взаимодействующей дифракционной решетки. При вращении цилиндра вокруг своей оси дифракционные решетки последовательно взаимо-

действуют с полем диэлектрического волновода и, как следствие этого, путем выбора параметров рассеивающих дифракционных решеток могут быть реализованы требуемые пространственные положения ДН, сектор и закон сканирования. Схематическое изображение антенны приведено на рис. 1.

Характерной особенностью выбранной электродинамической схемы антенны является наличие «клиновидной» связи между каждым из рассеивателей и линией поверхностных волн. Такая несимметричная связь приводит к тому, что искажения диаграммы направленности, характерные для антенн с боковой запяткой в области углов, близких к нормали к плоскости апертуры, в данной антенной конструкции выражены слабо и практически не влияют на характеристики принимаемого сигнала. Реализованное распределение поля вдоль облучателя близко к косинусоидальному. В ортогональной плоскости требуемая ДН облучателя формируется с помощью рупора, в который заключен диэлектрический волновод.

С целью исключения приема с направлений, соответствующих высшим гармоникам поверхностных волн, была ограничена максимальная величина периода рассеивателей. Это обстоятельство явилось причиной несимметричности углового сектора сканирования, составляющего $+6^\circ \dots -24^\circ$ относительно нормали к плоскости апертуры. В рабочем положении плоскость апертуры расположена под углом 45° к надиру, что позволяет получать наилучшее, в среднем по полосе обзора, пространственное разрешение.

Требуемый порядок смены рассеивателей реализуется с помощью механического привода [2], выполненного на основе редуцированного шагового

двигателя. Синхронизация последнего от внешнего опорного источника обеспечивает построчную привязку данных радиометра к информации других систем, входящих в комплекс научной аппаратуры ИСЗ.

Для реализованных размеров зеркала $1150 \times 580 \text{ мм}^2$, при длине облучателя 950 мм, ширина диаграммы направленности по уровню 3 дБ составляет $0.5^\circ \times 0.8^\circ$ при уровне боковых лепестков не хуже -17 дБ. Для согласования рабочих углов наблюдения радиолокатора и радиометра сектор сканирования составляет 30° в диапазоне углов $21^\circ - 51^\circ$ от надира. Частота сканирования — 1 строка в секунду.

Значительная длина облучателя вызывает заметный уровень его собственных потерь в 8-мм диапазоне волн (-0.8 дБ с фидерным трактом), что может приводить к вариациям параметров выходной шкалы радиометра при изменении термодинамических температур облучателя и фидера в процессе эксплуатации. Поэтому, несмотря на независимость собственных потерь в облучателе антенны от углового положения луча, необходимо включение параметров антенного блока в алгоритм калибровки.

РАДИОМЕТРИЧЕСКИЙ ПРИЕМНИК

Радиометрический приемник выполнен по одноканальной супергетеродинной схеме с модулятором на входе. Сверхвысокочастотная часть приемного тракта разработана на базе волноводной техники с основным сечением волновода $7.2 \times 3.4 \text{ мм}^2$. Для реализации высокой чувствительности во входном тракте применен параметрический усилитель вырожденного типа с шумовой температурой $T_{\text{ш}} \leq 300 \text{ К}$ [5]. Все активные СВЧ-элементы выполнены на полупроводниковых приборах. Центральная частота рабочей полосы — 36.61 ГГц, частота гетеродина выбрана равной 37.5 ГГц.

Так как антенная система обладает ярко выраженной дисперсией (углочастотный коэффициент составляет 0.8° на процент изменения частоты), для исключения приема излучения с «зеркального» направления ДН требуется введение в приемнике однополосного режима работы. С этой целью за счет рабочих характеристик параметрического усилителя, модулятора и ферритовых устройств, реализовано подавление сигнала в верхней боковой полосе приема порядка -30 дБ.

Для уменьшения влияния дисперсии антенны на ширину ДН полоса приемника ограничена 270 МГц, для чего в тракте промежуточной часто-

ты установлен шестизвенный полосовой фильтр на встречных стержнях. Центральная частота фильтра — 890 МГц. Поскольку все остальные элементы тракта более широкополосны, характеристика фильтра определяет результирующую амплитудно-частотную характеристику системы.

В тракте низкой частоты осуществляются операции синхронной фильтрации, синхронного детектирования и интегрирования выходного сигнала. Выходной усилитель постоянного тока (УПТ) схемы низкочастотной обработки имеет два фиксированных значения коэффициента передачи, устанавливаемых по командам с Земли. При этом информация представляется в двух температурных масштабах: шкалы радиояркости изображений соответствуют диапазонам температур 110—330 К (для наблюдений океана и суши) или 150—250 К (для наблюдения льдов). Кроме этого, по командам с Земли предусмотрена возможность смещения выходной шкалы радиометра относительно сетки входного аналого-цифрового преобразователя БОС, что позволяет (в случае необходимости) компенсировать составляющую систематической погрешности измерений, связанную с возможной ошибочной оценкой рабочей шумовой температуры антенны при ее наземной калибровке.

Структурная схема радиометрического приемника приведена на рис. 2.

КАЛИБРОВКА РМ-08

Калибровка радиометра осуществляется с помощью сигнала от эталонного шумового полупроводникового генератора (ГШ), подключенного к противоположному концу диэлектрического волновода облучателя. В течение калибровочной части цикла сканирования прием внешнего излучения исключается, для чего часть цилиндрической поверхности выполнена гладкой и не содержит рассеивателей, поэтому сигнал шумового генератора проходит по волноводу облучателя антенны на вход радиометрического приемника без какого-либо влияния со стороны внешних факторов.

Второй уровень калибровочного сигнала, соответствующий физической температуре входного тракта радиометра, создается собственным радиоизлучением аттенюатора, установленного в тракте ГШ; физические температуры облучателя и аттенюатора измеряются с помощью прецизионных датчиков температуры и передаются в общем потоке телеметрических данных.

Таким образом, калибровочные сигналы подаются на вход антенны; в результате ее облучатель и

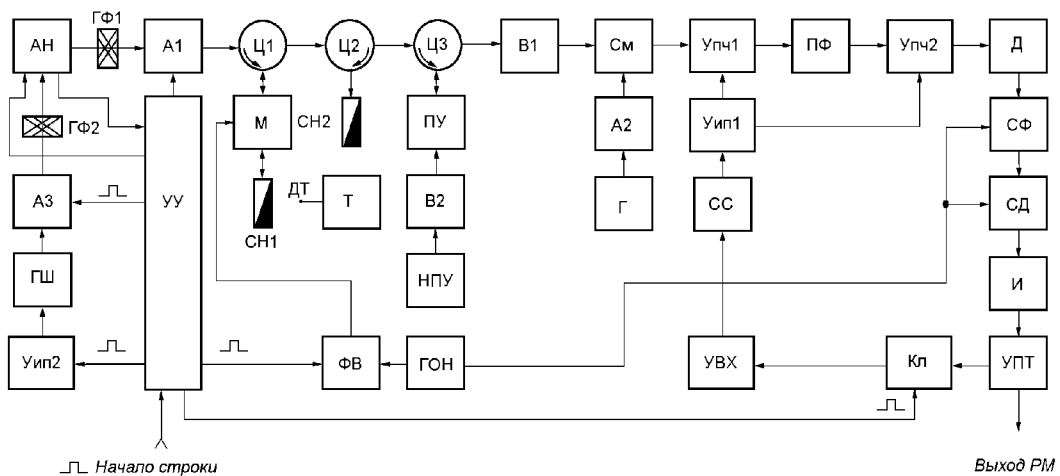


Рис. 2. Структурная схема РМ-08: А — аттенюатор; АН — антенна; В — вентиль; Г — гетеродин; ГОН — генератор опорного напряжения; ГФ — гермофланец; ГШ — генератор шума; Д — детектор; ДТ — датчик температуры; И — интегратор; Кл — ключ; М — модулятор; НПУ — накачка параметрического усилителя; ПУ — входной малошумящий параметрический усилитель; СМ — преобразователь частоты; СД — синхронный детектор; СН — согласованная нагрузка; СС — схема согласования; СФ — синхронный фильтр; Т — термостат; УВХ — устройство выборки-хранения; УИП — управляемый источник питания; УПТ — усилитель постоянного тока; УПЧ — усилитель промежуточной частоты; УУ — управляющее устройство; ФВ — фазовращатель; Ц — ферритовый циркулятор

фидерный тракт включаются в калибровочный цикл. Следует отметить, что в данной схеме облучатель антенны выполняет функции управляемого переключателя, в связи с чем из приемного тракта исключаются соответствующие волноводные элементы, что снижает общую шумовую температуру системы.

В РМ-08 предусмотрены два режима калибровки: диагностический и оперативный.

Диагностический режим включается перед началом рабочего цикла и состоит в измерении двух калибровочных уровней, длительностью 30 с каждый, при увеличенном времени интегрирования ($\tau = 1$ с), с передачей данных как по телеметрическому каналу связи — для подтверждения правильного функционирования аппаратуры СКРМ, так по информационным радиолиниям с представлением результата в поле радиотеплового изображения — для проверки функционирования РМ канала БОС и линий передачи.

Режим оперативной калибровки синхронизирован с циклами вращения цилиндра облучателя и с другими системами радиофизического комплекса. В рабочей части цикла сканирования, соответствующей наблюдению земной поверхности, шумовой генератор выключен и второй вывод облучателя оказывается нагруженным на СВЧ нагрузку в виде аттенюатора с низким уровнем отражения.

Для формирования сигналов яркостной восьми-

градационной шкалы, располагаемой на выходном информационном бланке рядом с радиотепловым изображением и необходимой для оперативного анализа получаемой информации в пунктах приема, также используется шумовой сигнал калибровочного генератора, ослабленный в заданное для каждой градации количество раз управляемым p - i - n -аттенюатором. При этом фаза опорного сигнала, подаваемого на синхронный детектор, на время включения ГШ изменяется на 180° .

При оперативной калибровке используются два вида калибровочных сигналов. Первый — программируемо изменяемый уровень калибратора, используемый для формирования на изображении градационной яркостной шкалы, второй — фиксированный уровень излучения, необходимый для работы схемы стабилизации коэффициента передачи приемо-преборовательного тракта.

Отклики на опорные калибровочные импульсы, несущие информацию о коэффициенте передачи, стробируются и с предварительного каскада УПТ поступают на схему автоматической стабилизации коэффициента передачи, где выделяется их среднее значение и сигнал рассогласования по отношению к опорному уровню используется для регулирования коэффициента усиления тракта.

Временная диаграмма работы основных устройств радиометрической системы приведена на рис. 3.

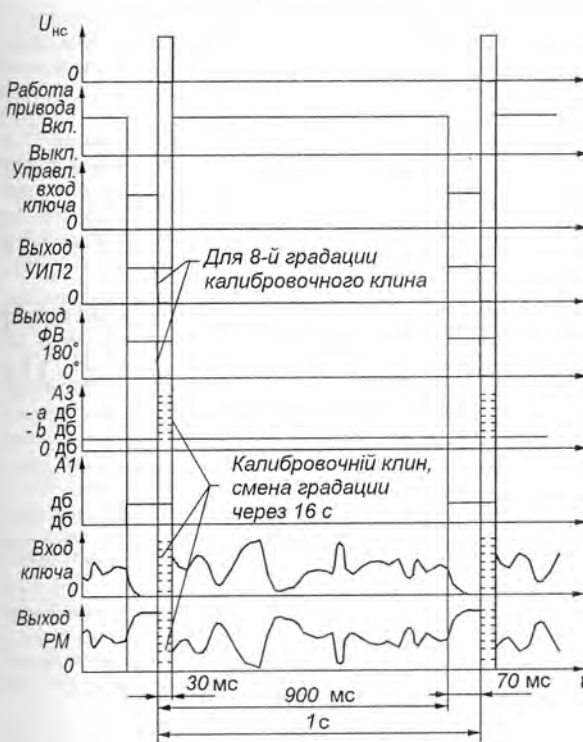


Рис. 3. Временная диаграмма работы основных устройств радиометрической системы

КОНСТРУКТИВНОЕ ВЫПОЛНЕНИЕ РМ-08

Конструктивно элементы системы размещены в трех блоках — двух герметичных — сверхвысокочастотном (СВЧ) и блоке питания и управления (БПУ), размещаемых на откидных панелях ИСЗ, и в блоке низкой частоты (БНЧ), установленном в аппаратурном отсеке спутника. Блок СВЧ установлен на антenne и соединен с ее облучателем волноводными фидерами. Все его элементы размещены на термостабилизированной плате, теплоизолированной от кожуха блока. Для снижения теплообмена плиты за счет конвекции и излучения, свободный внутренний объем блока заполнен гранулами пенополистирола. Терморазвязывающие волноводные связи между термоплитой и кожухом выполнены из тонкостенного волновода из нержавеющей стали с серебряным покрытием. Гермоблок СВЧ имеет два волноводных гермофланца (вход радиометрического приемника и выход калибровочного генератора). В гермофланцах в качестве развязывающих элементов применены слюдяные пластины толщиной 0.04 мм, что обеспечило потери сигнала менее 0.1 дБ. Терmostатирование платы 316 К при диапазоне изменения температур кожуха блока СВЧ 233—313 К. Датчик терmostата установлен на эталонной нагрузке модулятора и обеспечивает точность стабилизации температуры 0.2 К.

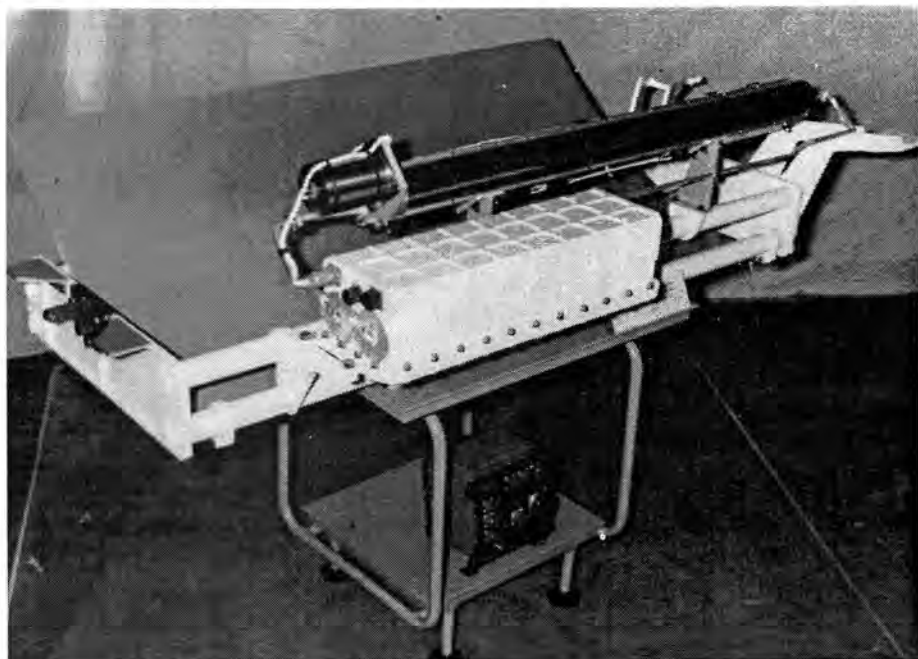


Рис. 4. Внешний вид антенной системы РМ-08 с блоком СВЧ (вверху) и блоком БНЧ (внизу)

На рис. 4 представлен внешний вид антенной системы РМ-08 с блоком СВЧ (вверху) и блока БНЧ (внизу).

ЗАКЛЮЧЕНИЕ

Информативность комплексов дистанционного зондирования типа «Океан-01», «Січ-1» с пространственно совмещенными полосами обзора поверхности для радиолокационного, радиометрического и оптического датчиков подтверждена в ходе многочисленных научных экспериментов и оперативных наблюдений Земли из космоса. Опыт эксплуатации в составе этих комплексов радиометрических систем типа РМ-08 позволяет сделать вывод о целесообразности введения в состав бортовых аппаратурных комплексов сканирующих радиометрических систем со «средним» пространственным разрешением порядка 5—15 км. Существенного увеличения информативности следует ожидать при увеличении числа поляризационных и частотных каналов радиометрической системы, при повышении абсолютной точности измерений и улучшении пространственного разрешения, а также при проведении комплексной наземной тематической обработки данных, полученных датчиками разных типов. Функционирование РМ-08 в составе комплекса радиофизической аппаратуры также подтвердило эффективность примененных методов обзора пространства и калибровки, основанных на использовании дифракционных структур в качестве элементов приемного антенного раскрыва для сверхвысокочастотных радиометрических систем.

1. Андренко С. Д., Девятков Н. Д., Шестопалов В. П. Антенные решетки миллиметрового диапазона волн // Докл. АН СССР.—1978.—240, № 6.—С. 1340—1343.

2. А. с. 1251691 СССР, МКИ⁴ G 01 S 13/95. Радиометр для оперативного дистанционного зондирования и блок сканирования / А. П. Пичугин, М. В. Бухаров, В. А. Комяк и др.—№ 3788385; Заявл. 25.01.85; Опубл. 22.02.86, Бюл. № 2.
3. Евдокимов А. П., Крыжановский В. В., Провалов С. А. Современное состояние проблемы сканирования лучом ДН в антенных радио-метрических комплексов миллиметрового диапазона // Радиометрические методы и средства для исследований окружающей среды в миллиметровом диапазоне: Сб. науч. тр. — Киев: Наук. думка, 1988.—С. 160—166.
4. Калмыков А. И., Курекин А. С., Ефимов В. Б. и др. Радиолокатор бокового обзора ИСЗ «Космос-1500» // Исслед. Земли из космоса.—1985.—№ 3.—С. 76—83.
5. Корогод В. В., Берлин А. С., Струков И. А. Методы проектирования вырожденных параметрических усилителей для бортовых приемных систем миллиметрового диапазона волн // Научная аппаратура для космических исследований. — М.: Наука, 1987.—С. 114—121.
6. Селиванов А. С., Тучин Ю. М. Радиотелевизионный комплекс спутников «Метеор» для исследования природных ресурсов Земли // Исслед. Земли из космоса.—1981.—№ 5.—С. 28—34.
7. Фетисов А. Б. Особенности бортовой обработки информации при дистанционном зондировании природной среды // Радиофизические методы и средства для исследований окружающей среды в миллиметровом диапазоне: Сб. науч. тр. — Киев: Наук. думка, 1988.—С. 60—64.
8. Шестопалов В. П., Калмыков А. И., Комяк В. А. и др. Комплексные исследования природной среды Земли радиофизическим методом // Докл. АН СССР.—1985.—284, № 1.—С. 98—102.

SCANNING MICROWAVE RADIOMETER RM-08 OF THE «SICH-1» SATELLITE

V. A. Komyak, A. S. Levda, V. V. Rybin,
S. A. Shilo, S. A. Yatsevich

We discuss design of the radiometer system RM-08 of the satellite «Sich-1», its structure, principles and engineering solutions used as the basis for its scanning and calibration systems.